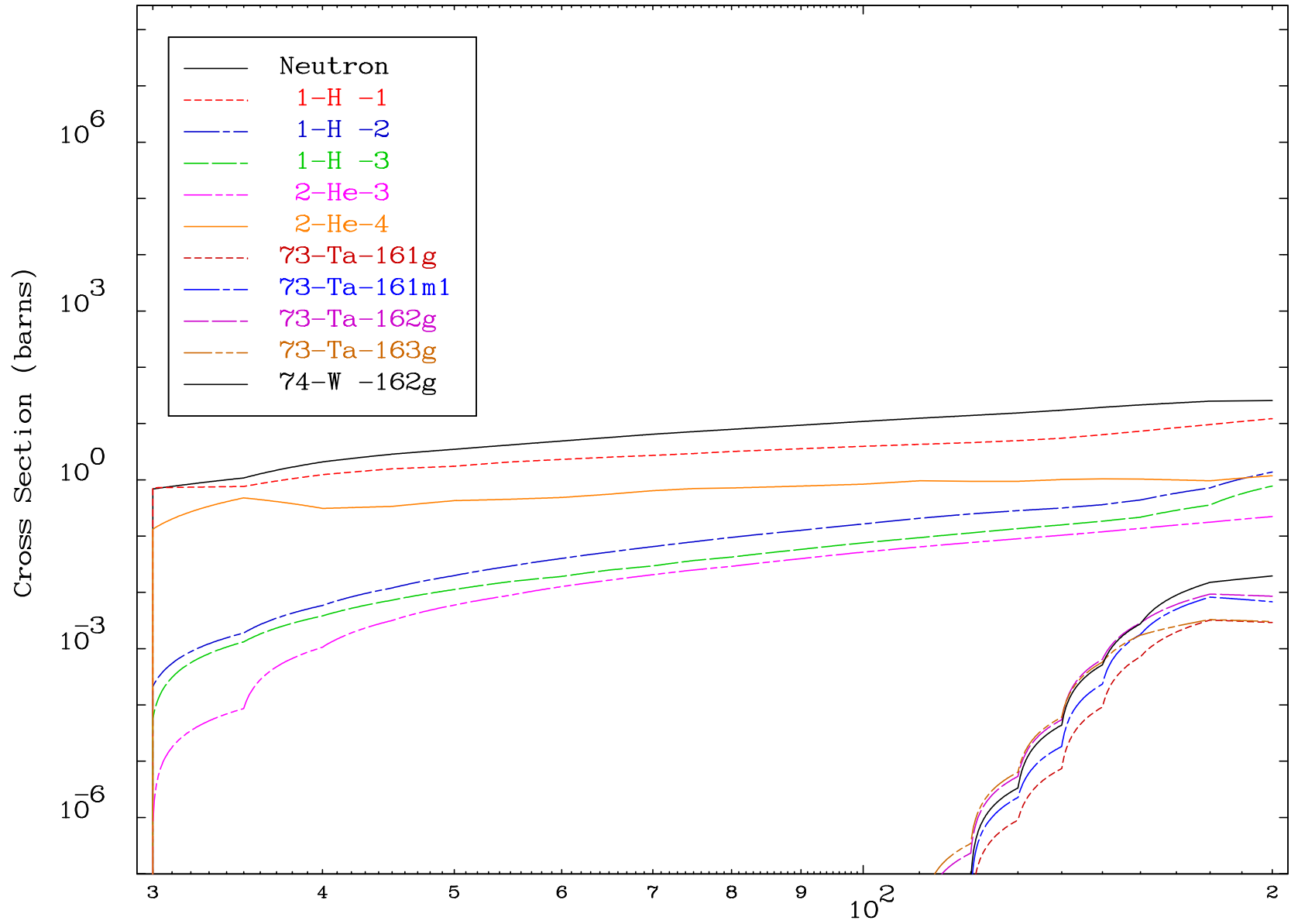
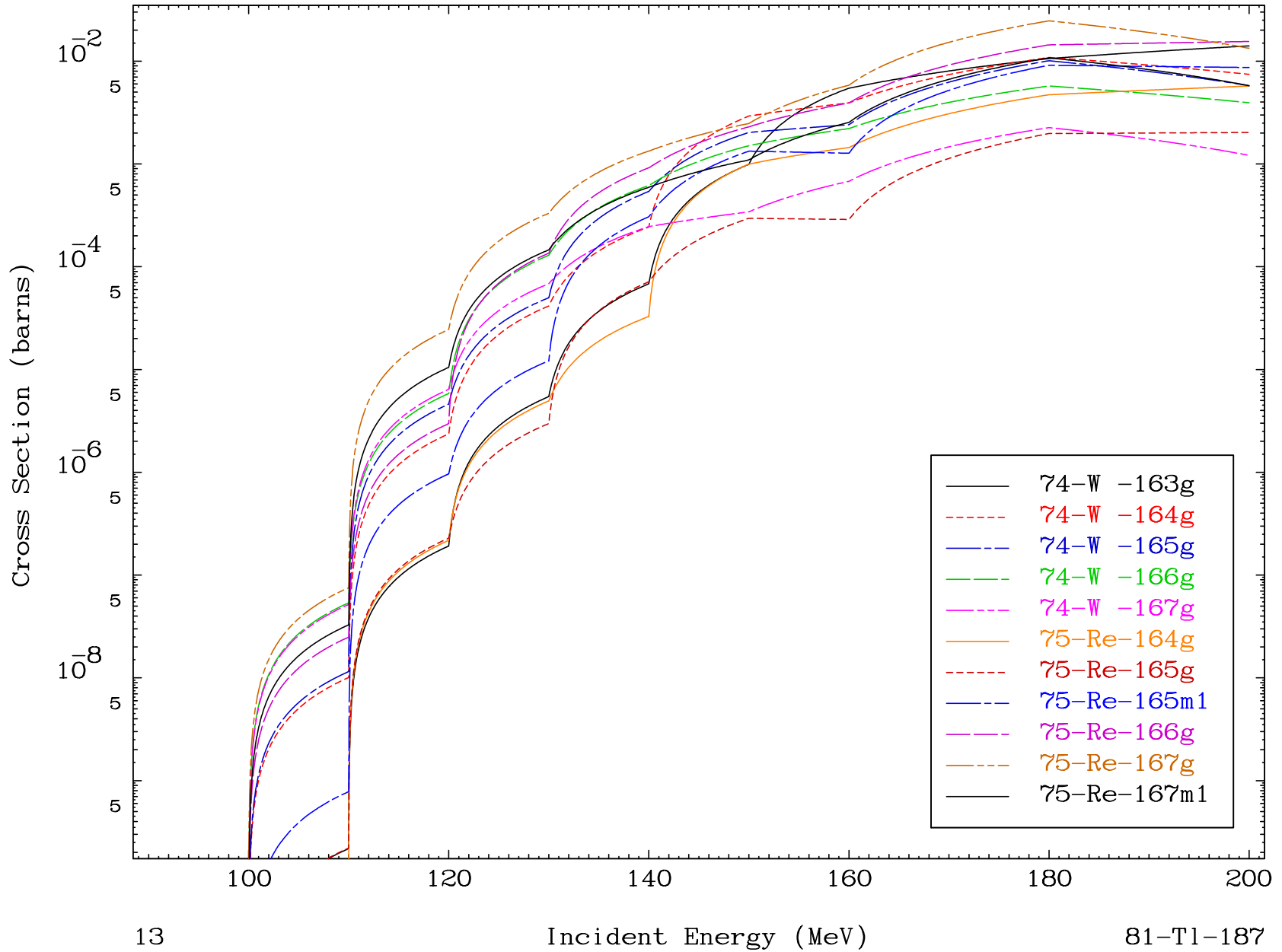
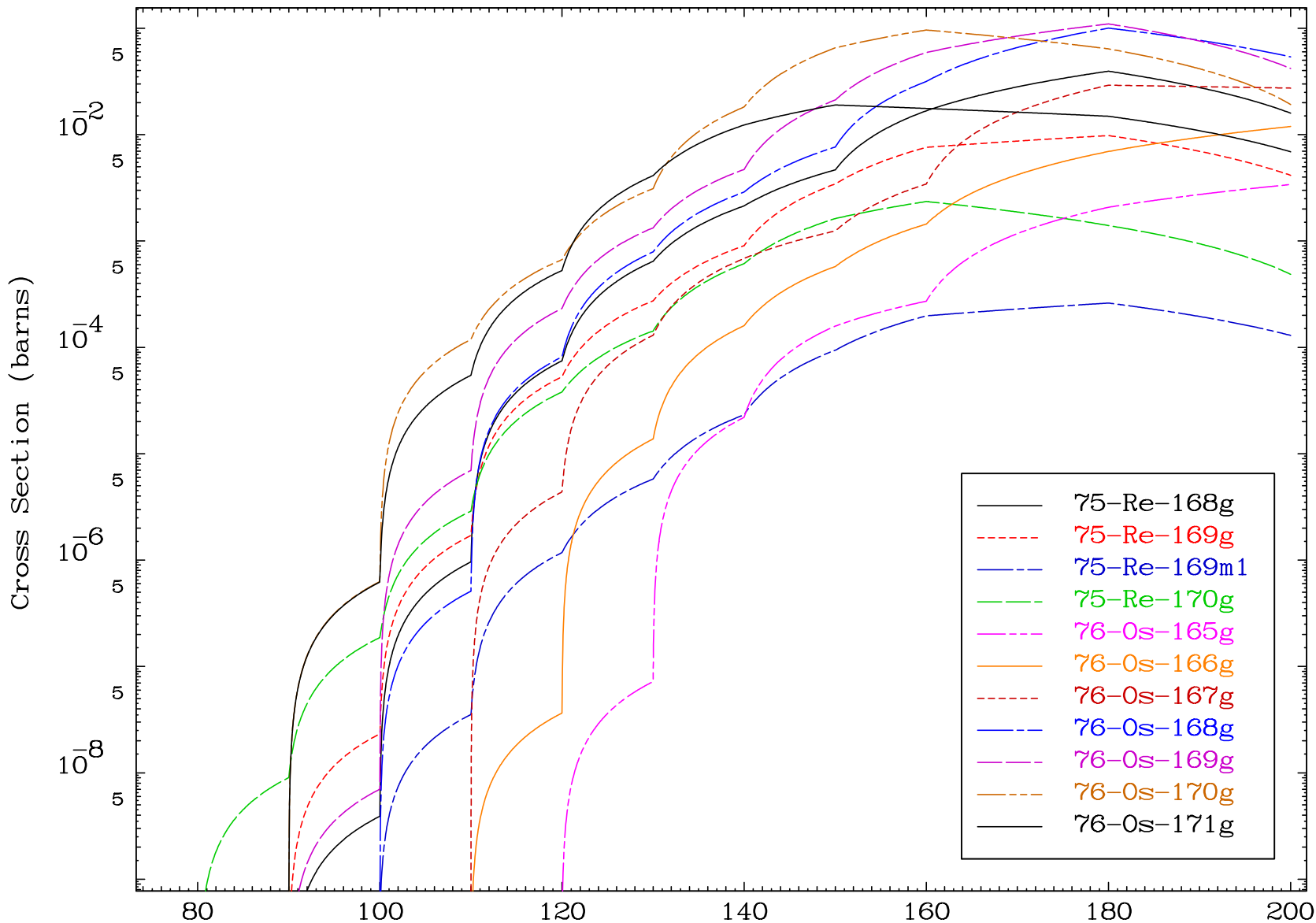


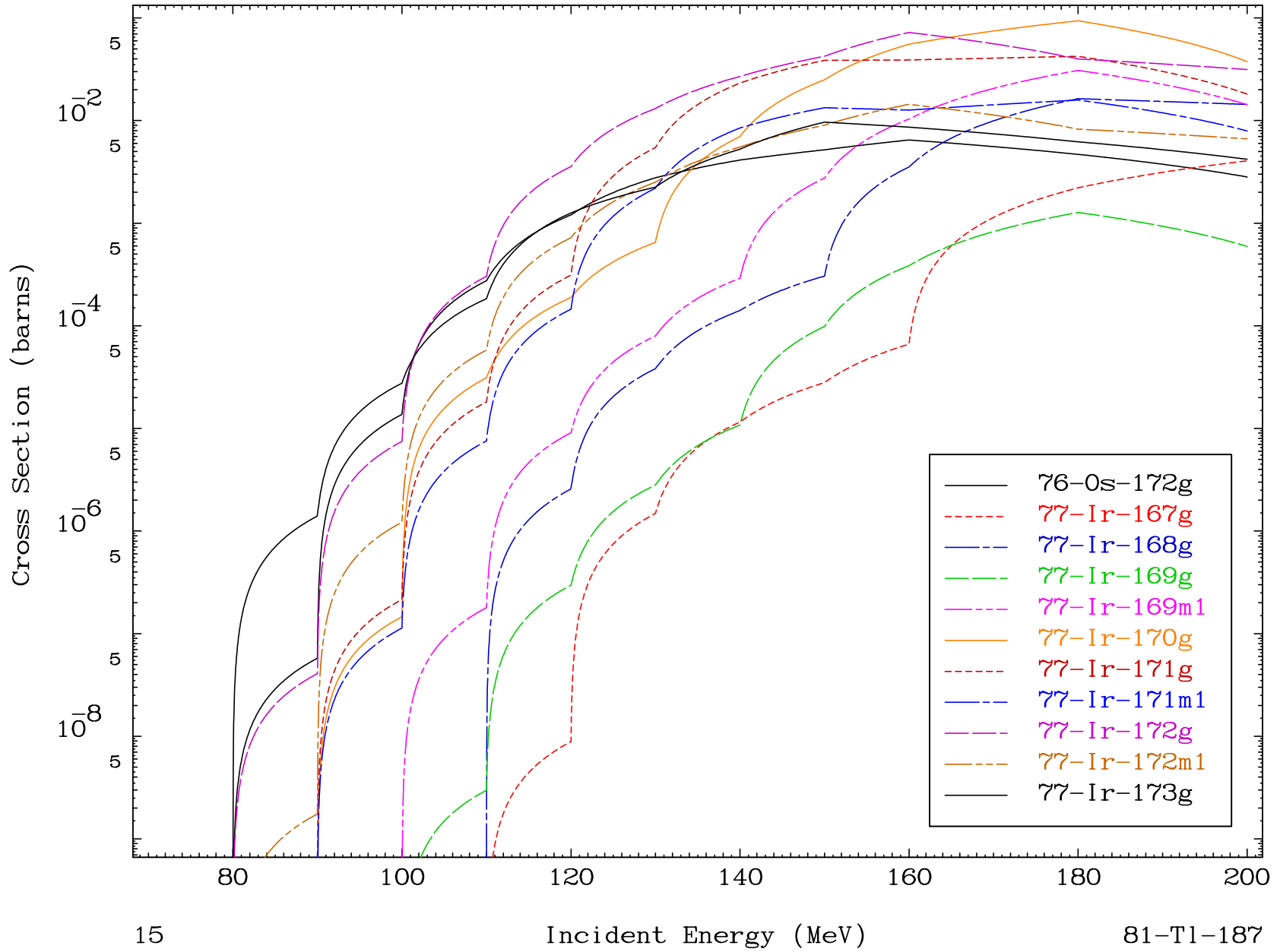
Radionuclide Production Cross Section



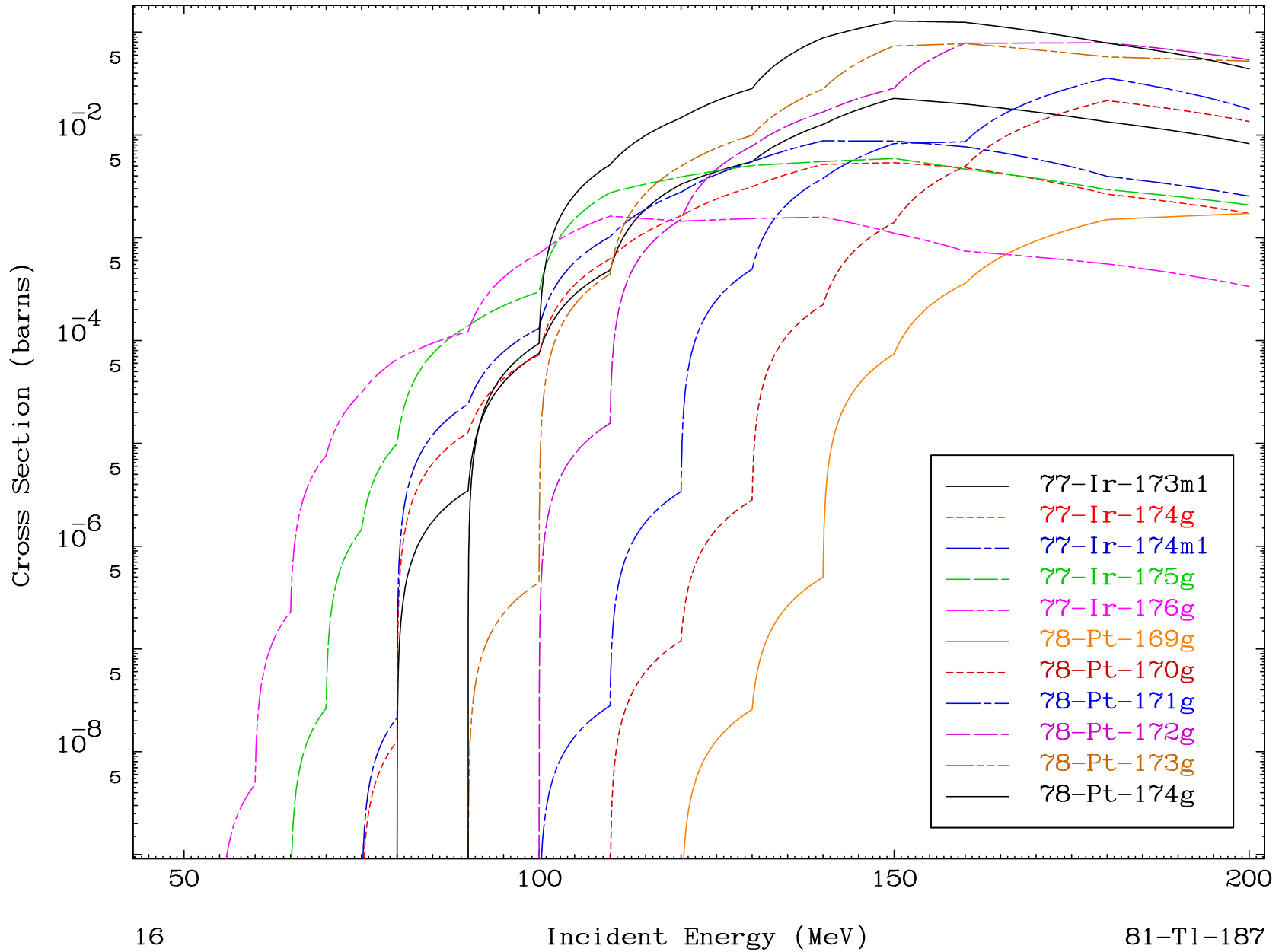
Radionuclide Production Cross Section



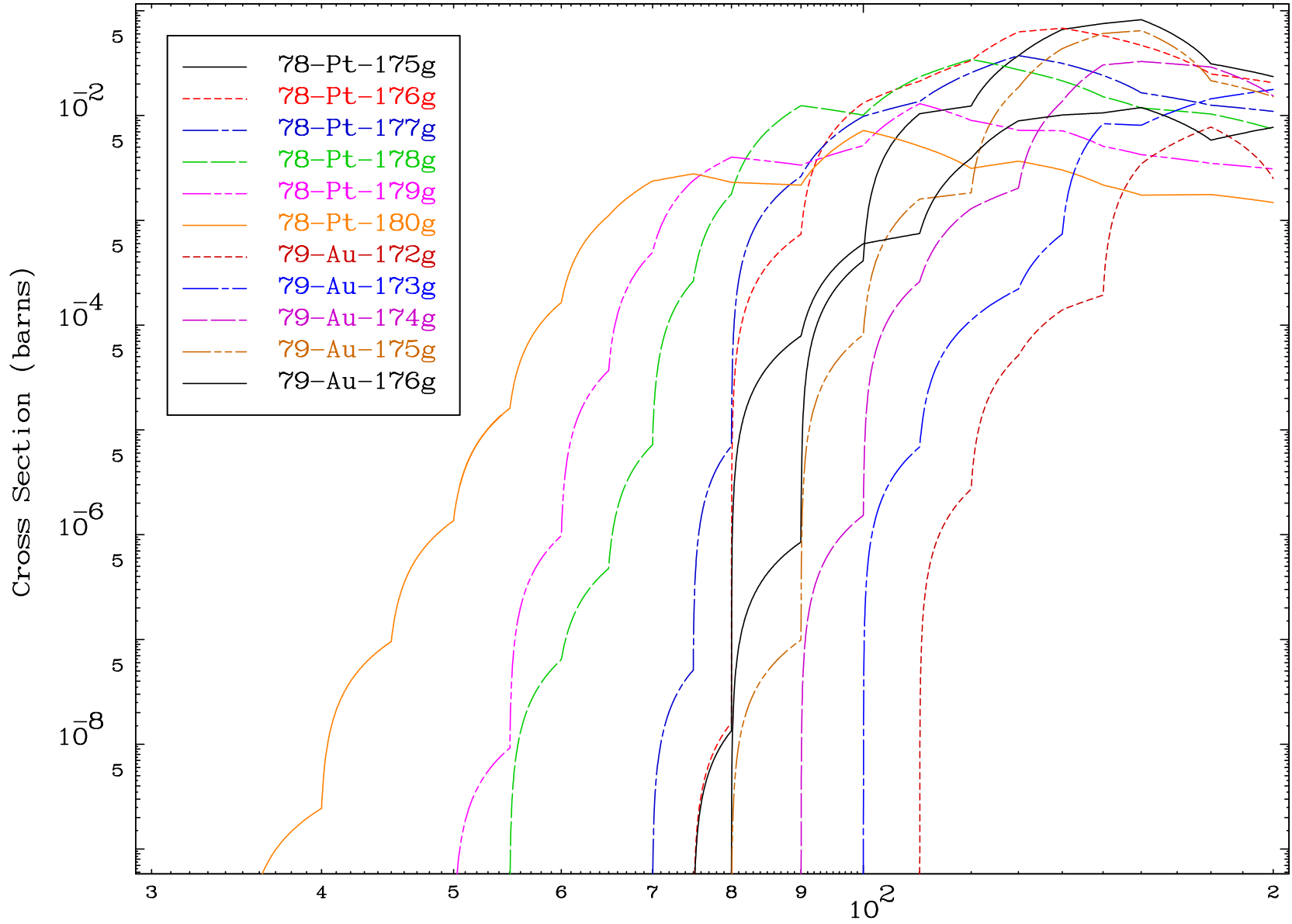


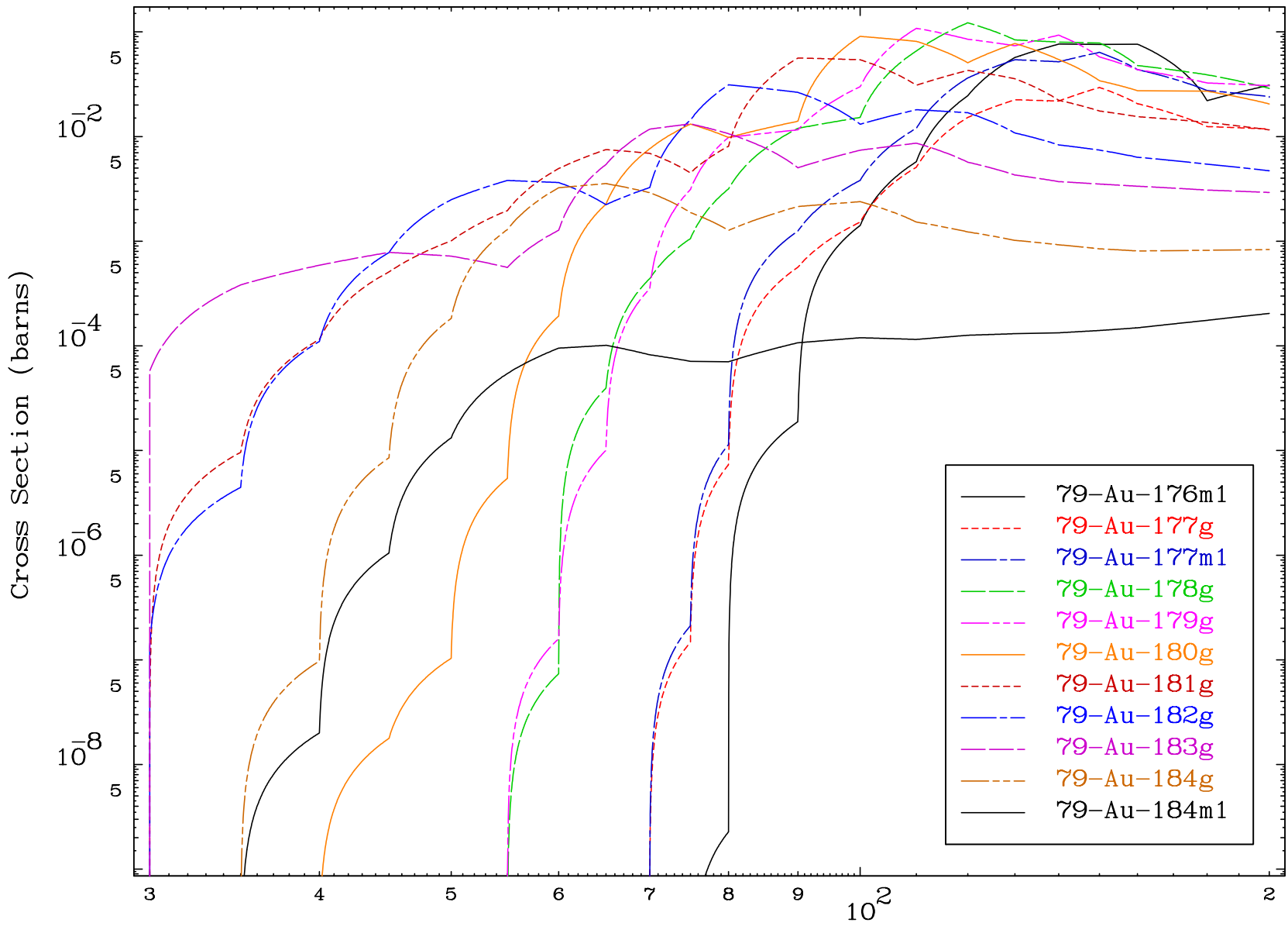


Radionuclide Production Cross Section

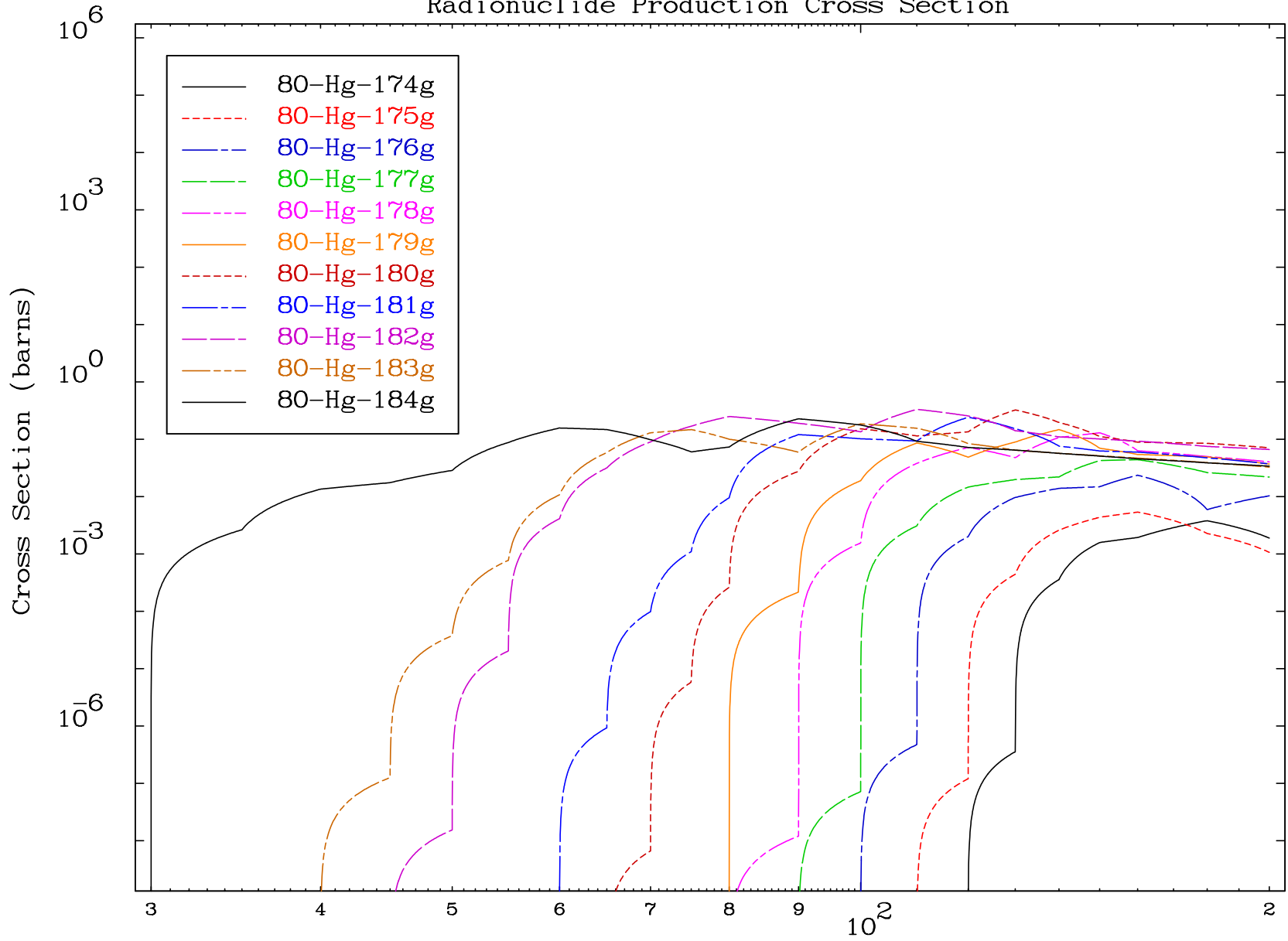


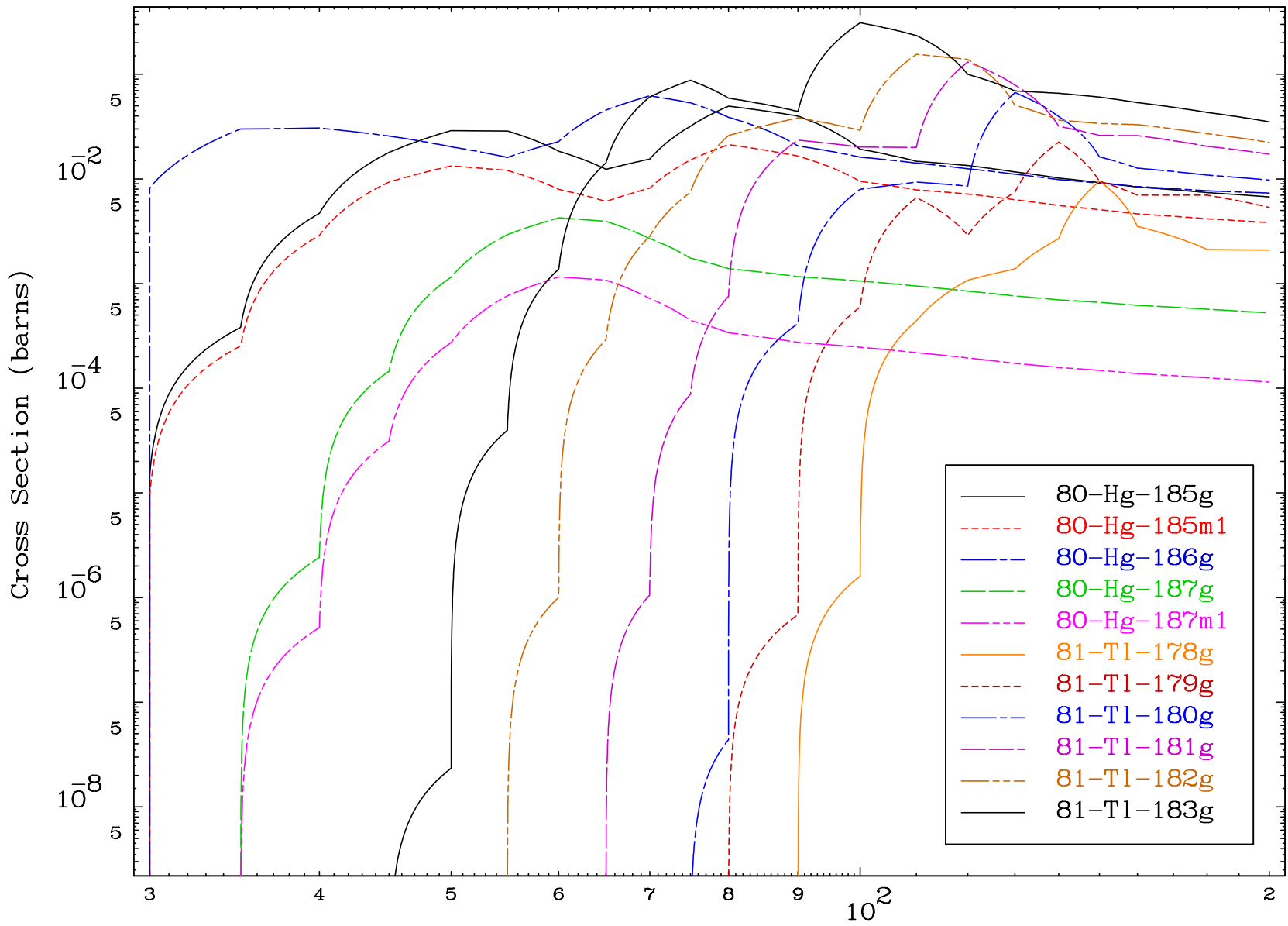
Radionuclide Production Cross Section

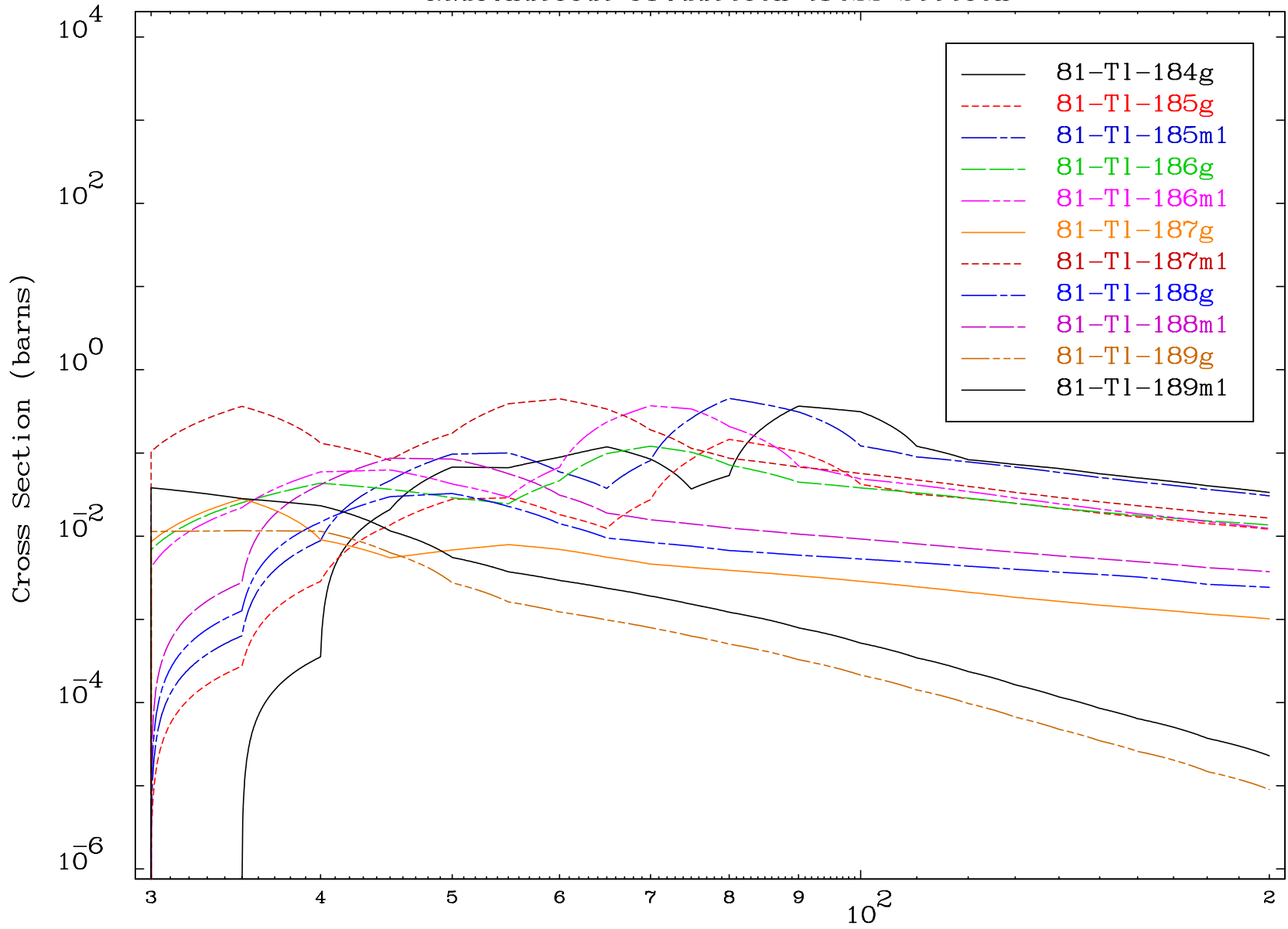




Radionuclide Production Cross Section





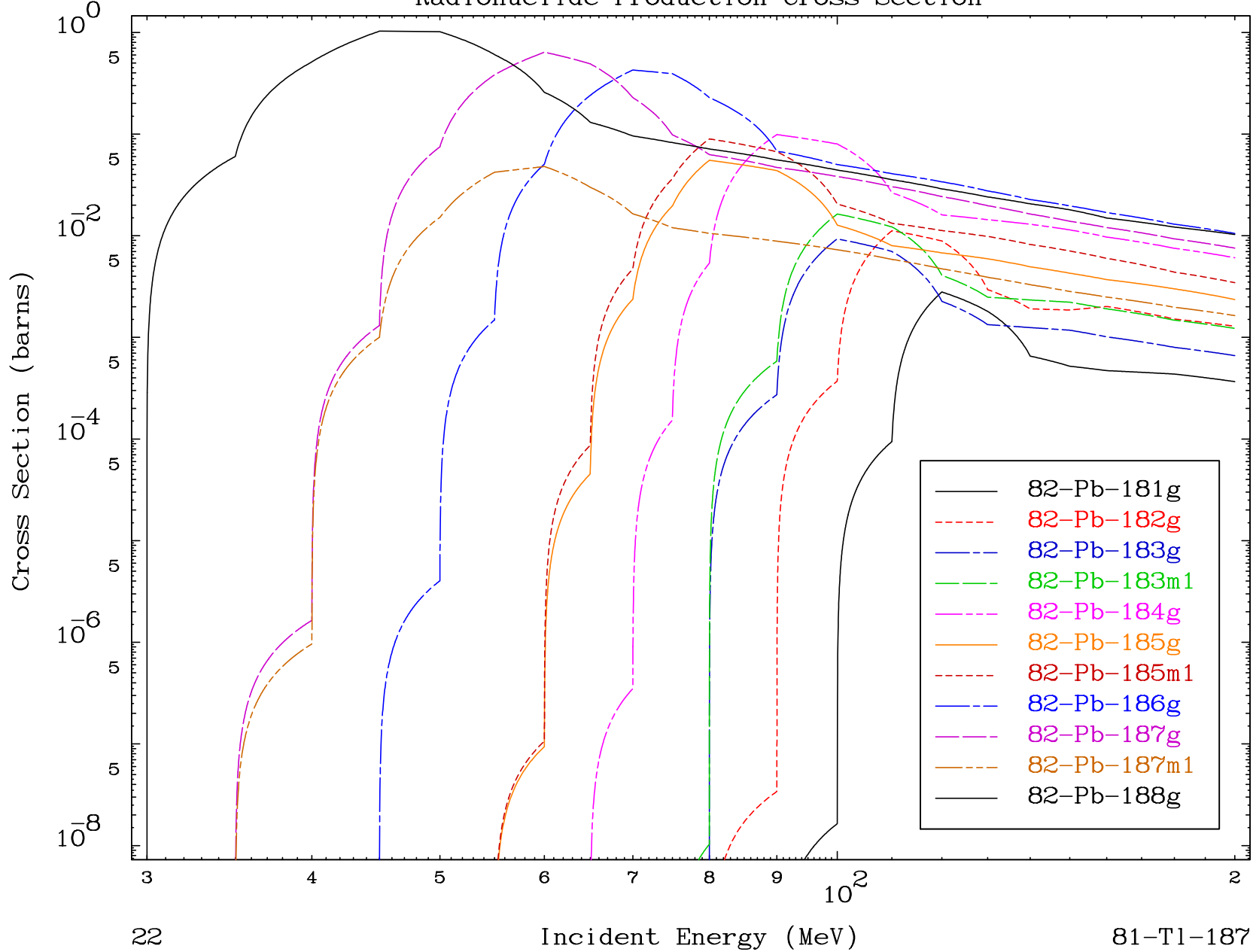


MAT 8078

(α , remainder)

81-T1-187

Radionuclide Production Cross Section

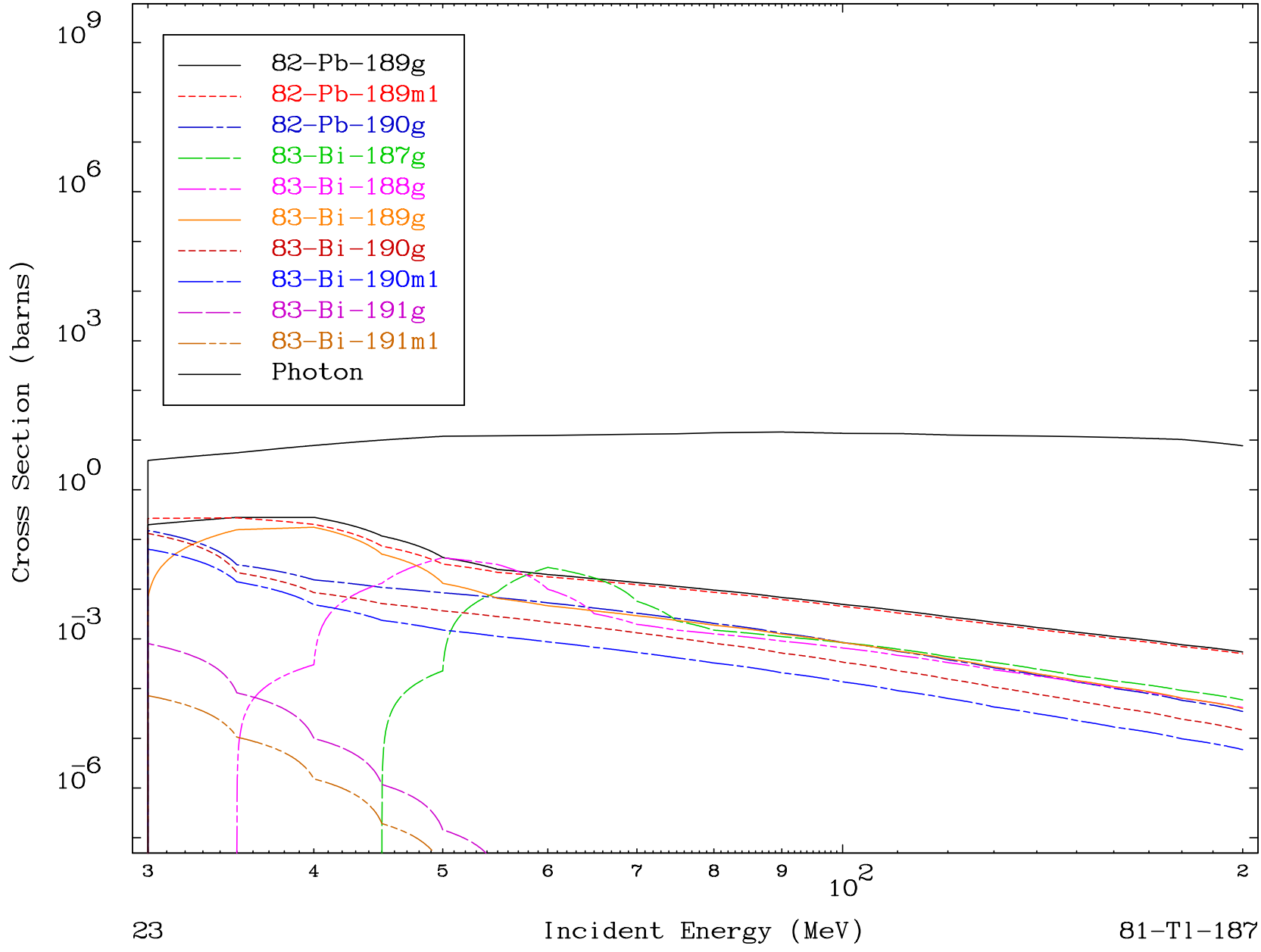


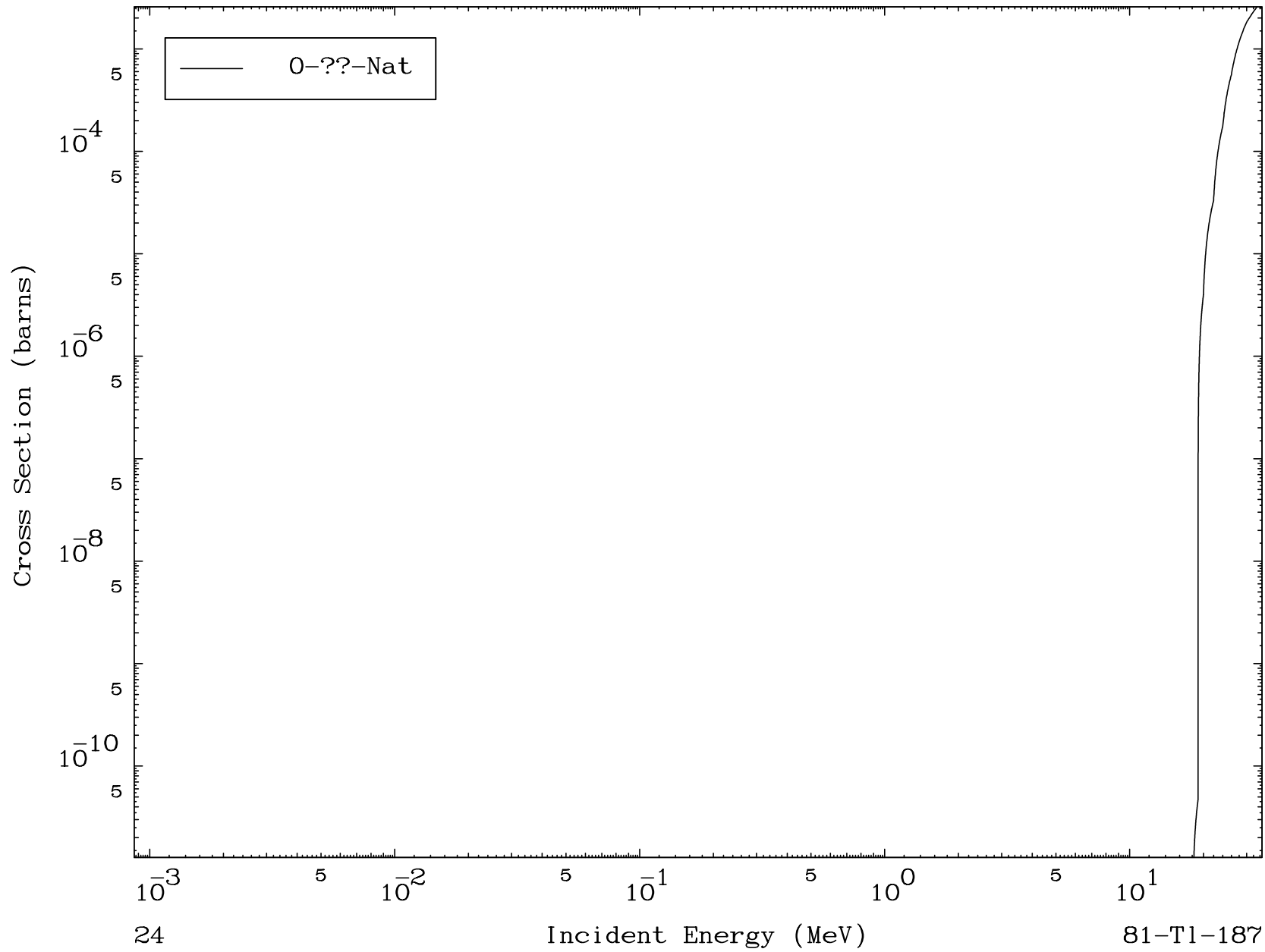
22

Incident Energy (MeV)

81-T1-187

Radionuclide Production Cross Section



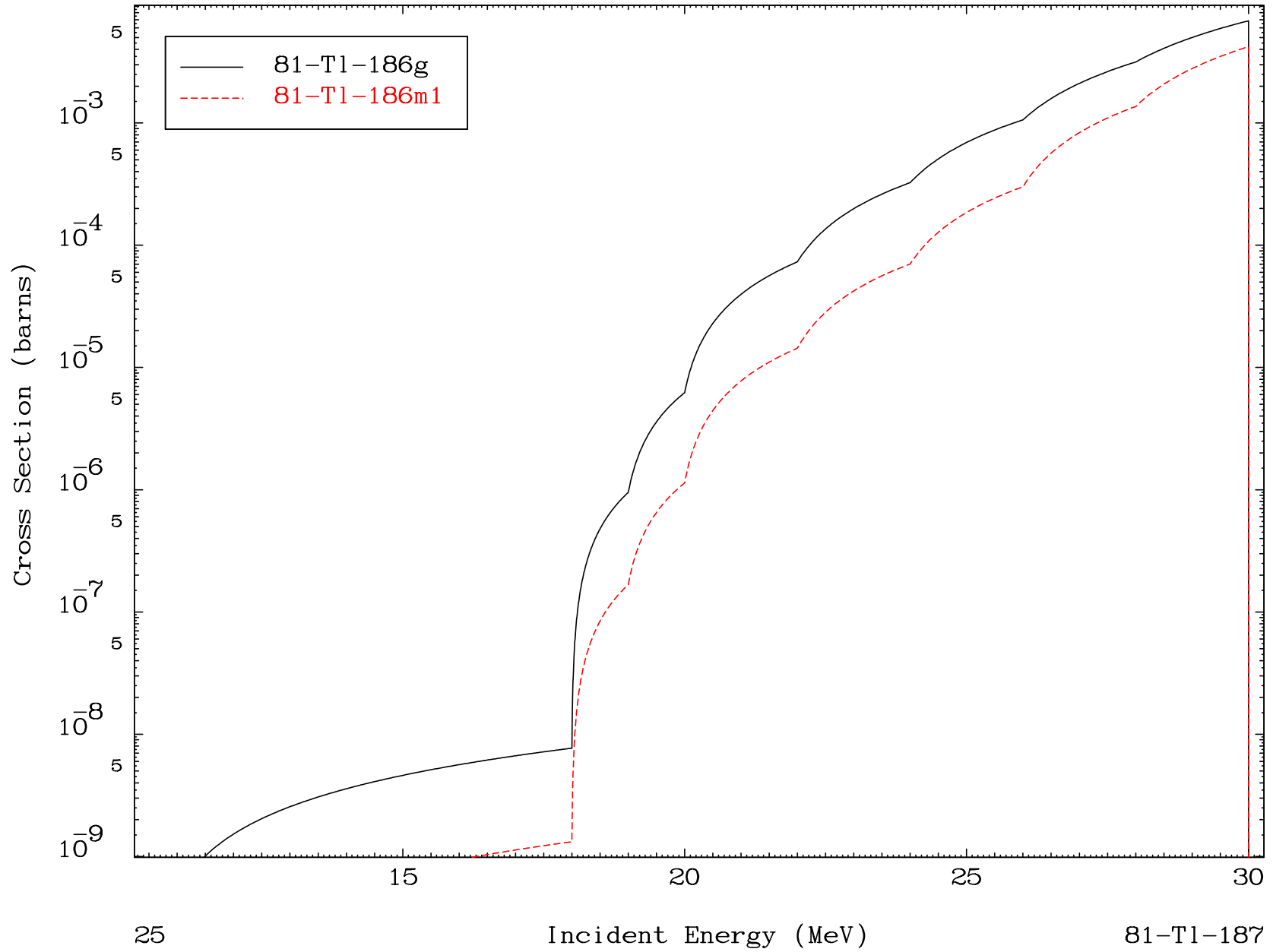


MAT 8078

(α, n') α

81-Tl-187

Radionuclide Production Cross Section

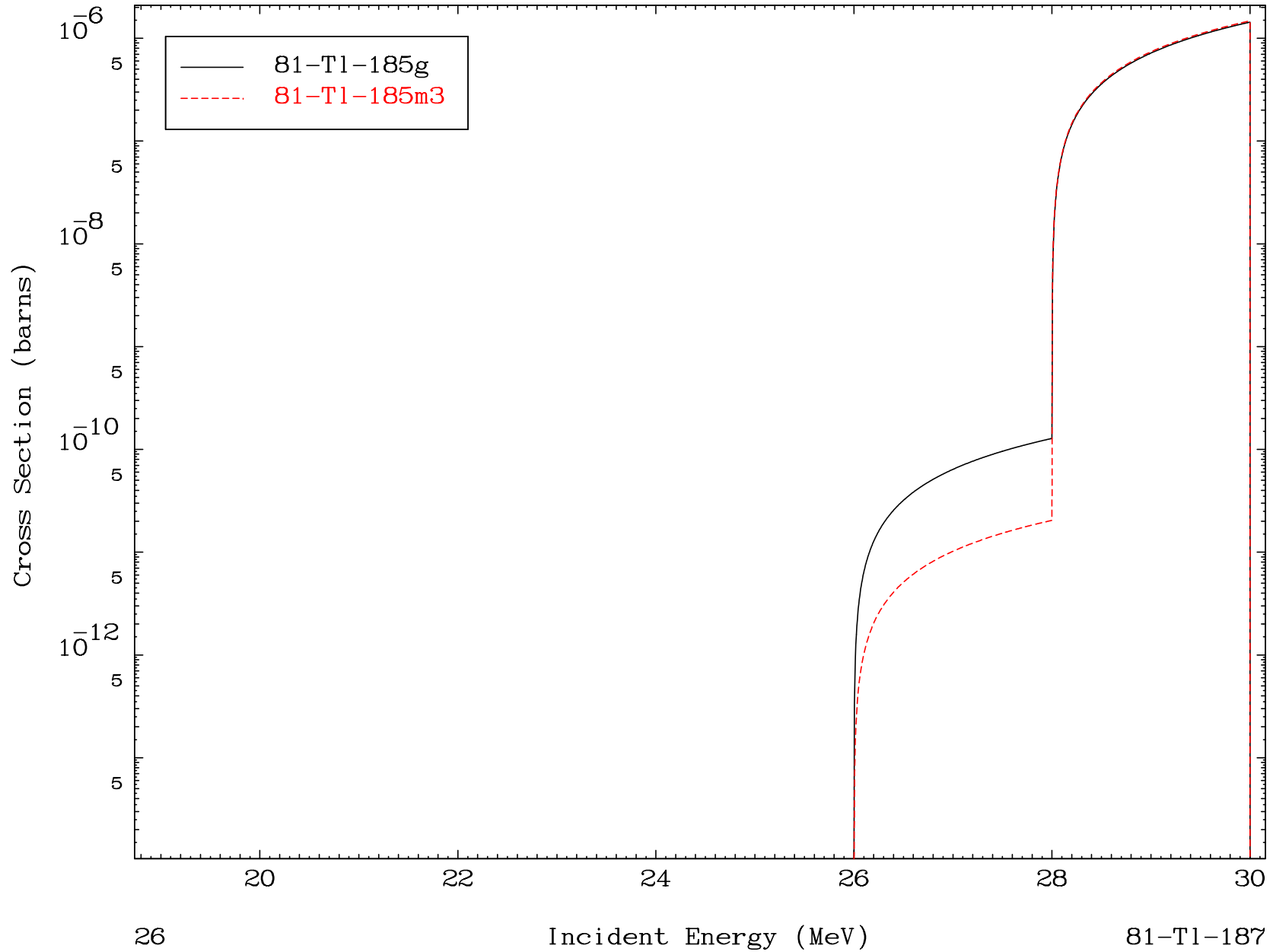


MAT 8078

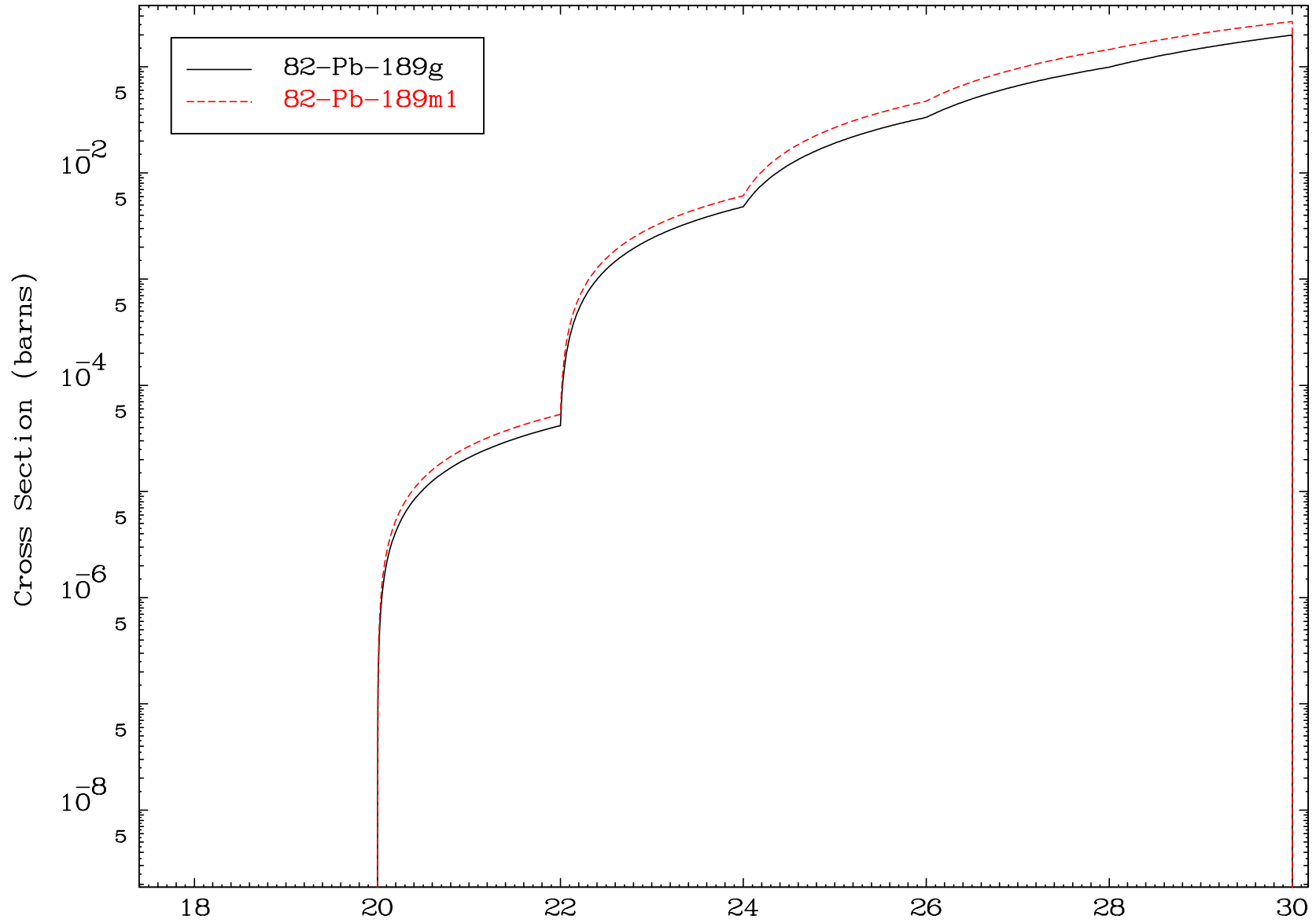
($\alpha, 2n$) α

81-Tl-187

Radionuclide Production Cross Section



Radionuclide Production Cross Section

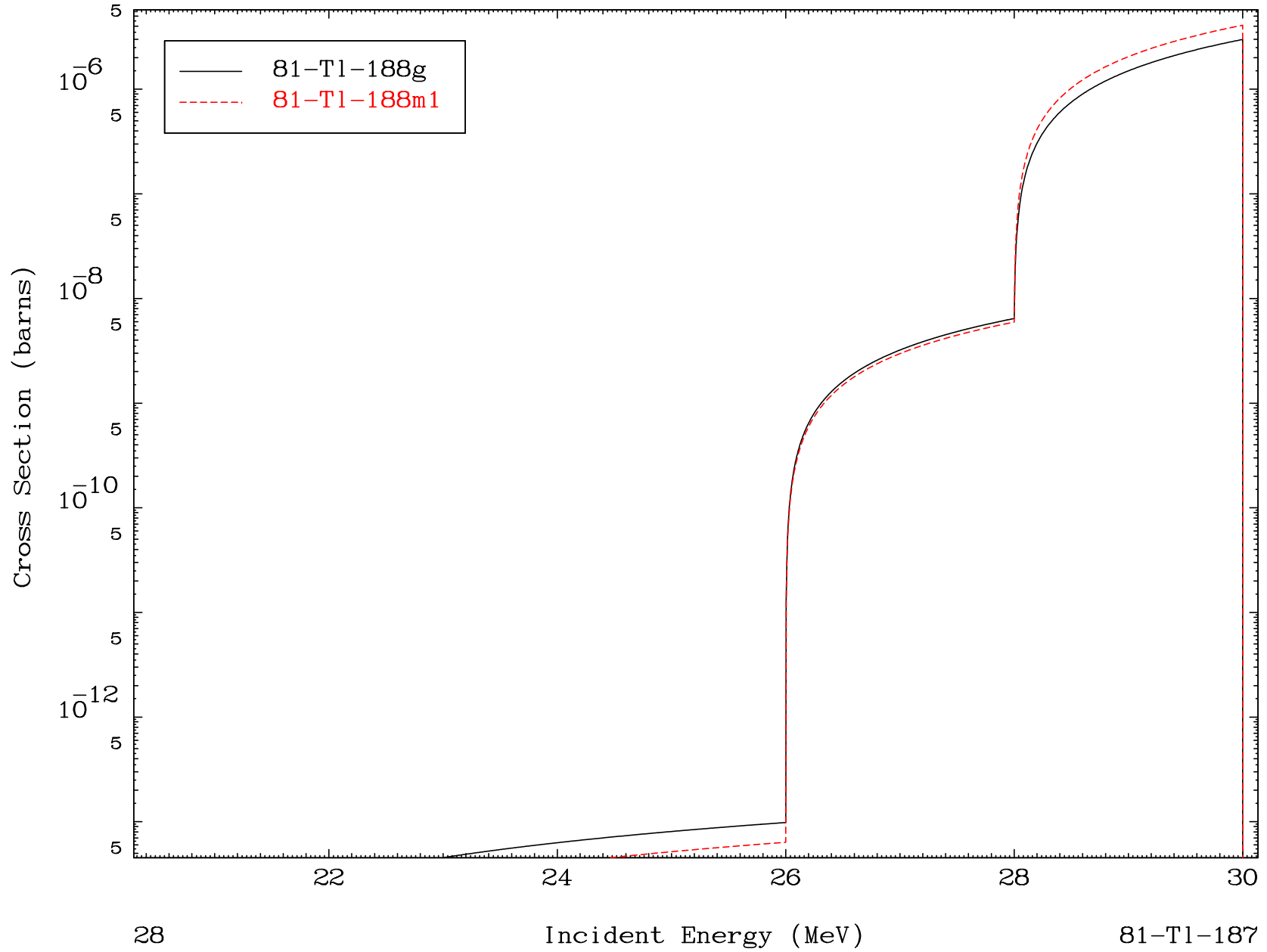


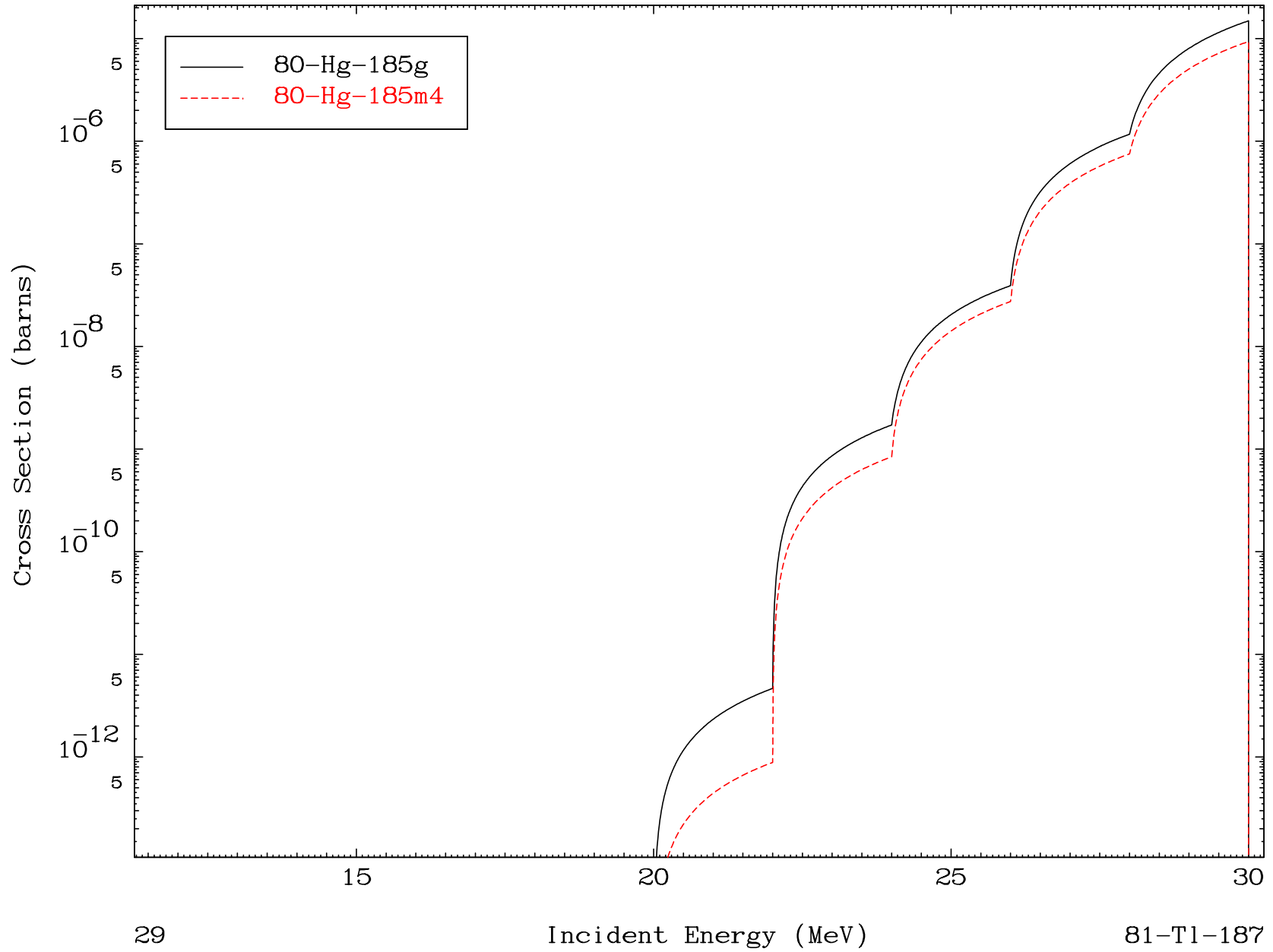
MAT 8078

($\alpha, 2n$) p

81-Tl-187

Radionuclide Production Cross Section



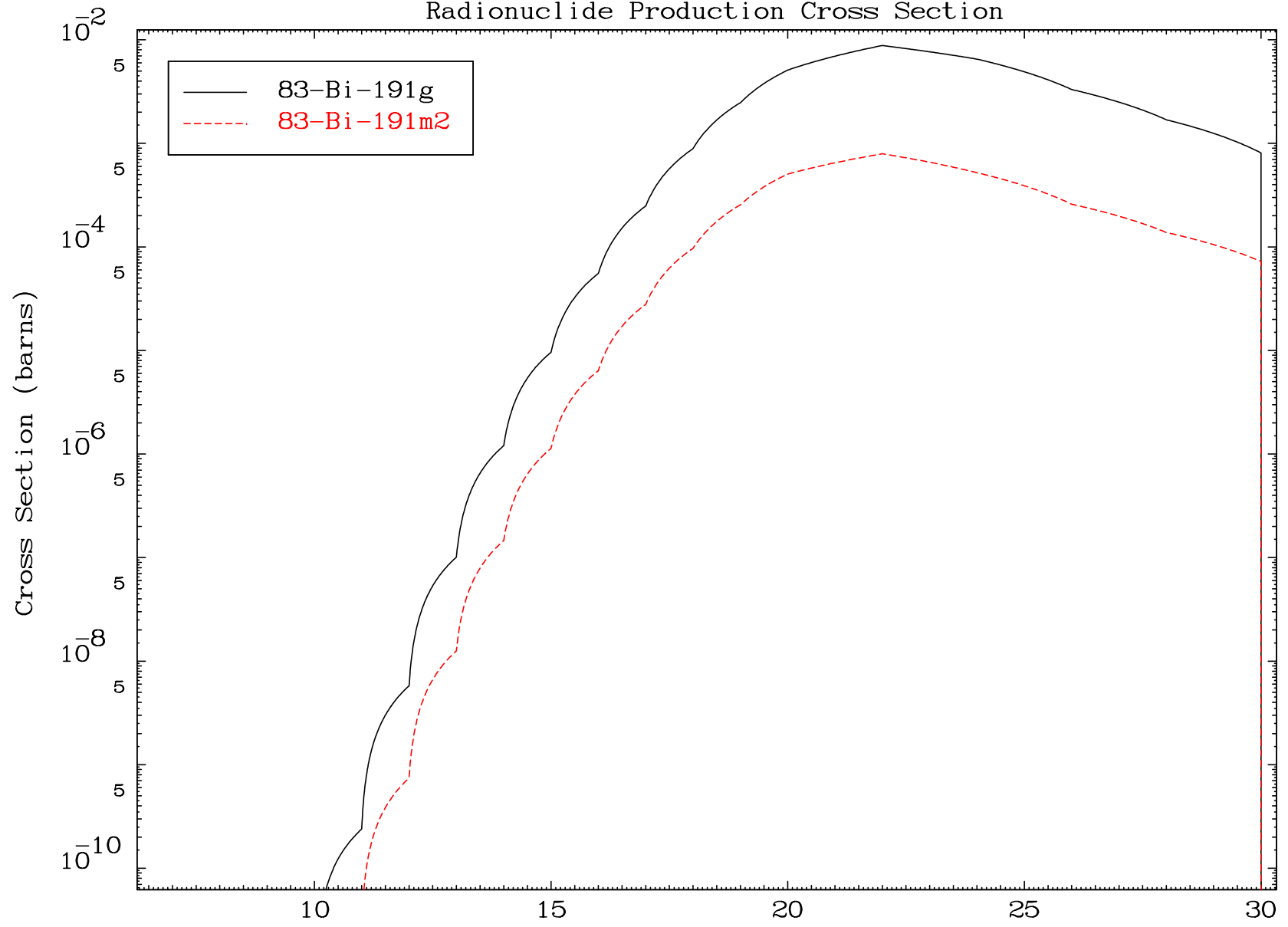


MAT 8078

(α, γ)

81-T1-187

Radionuclide Production Cross Section



30

Incident Energy (MeV)

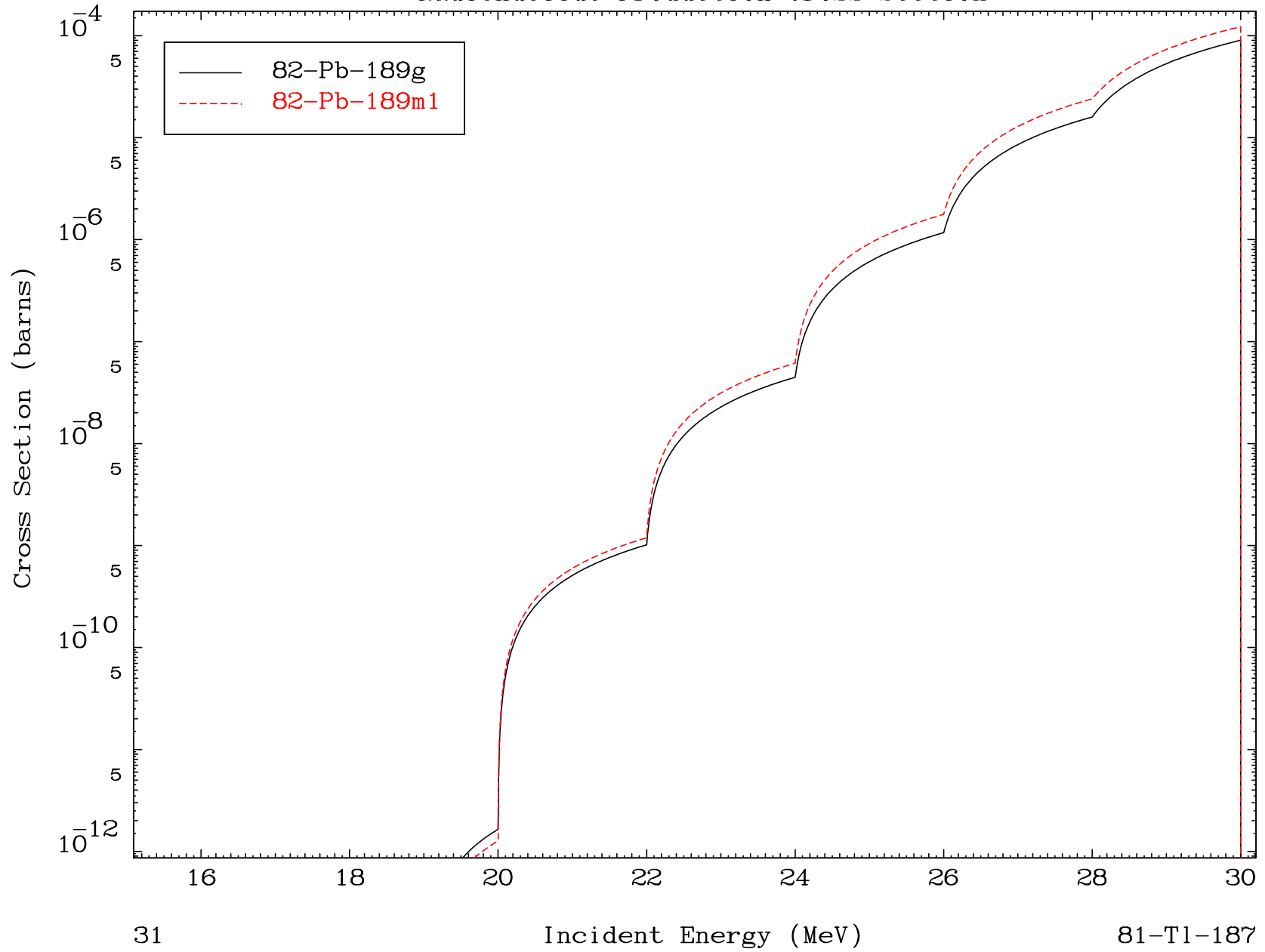
81-T1-187

MAT 8078

(α, d)

81-T1-187

Radionuclide Production Cross Section



31

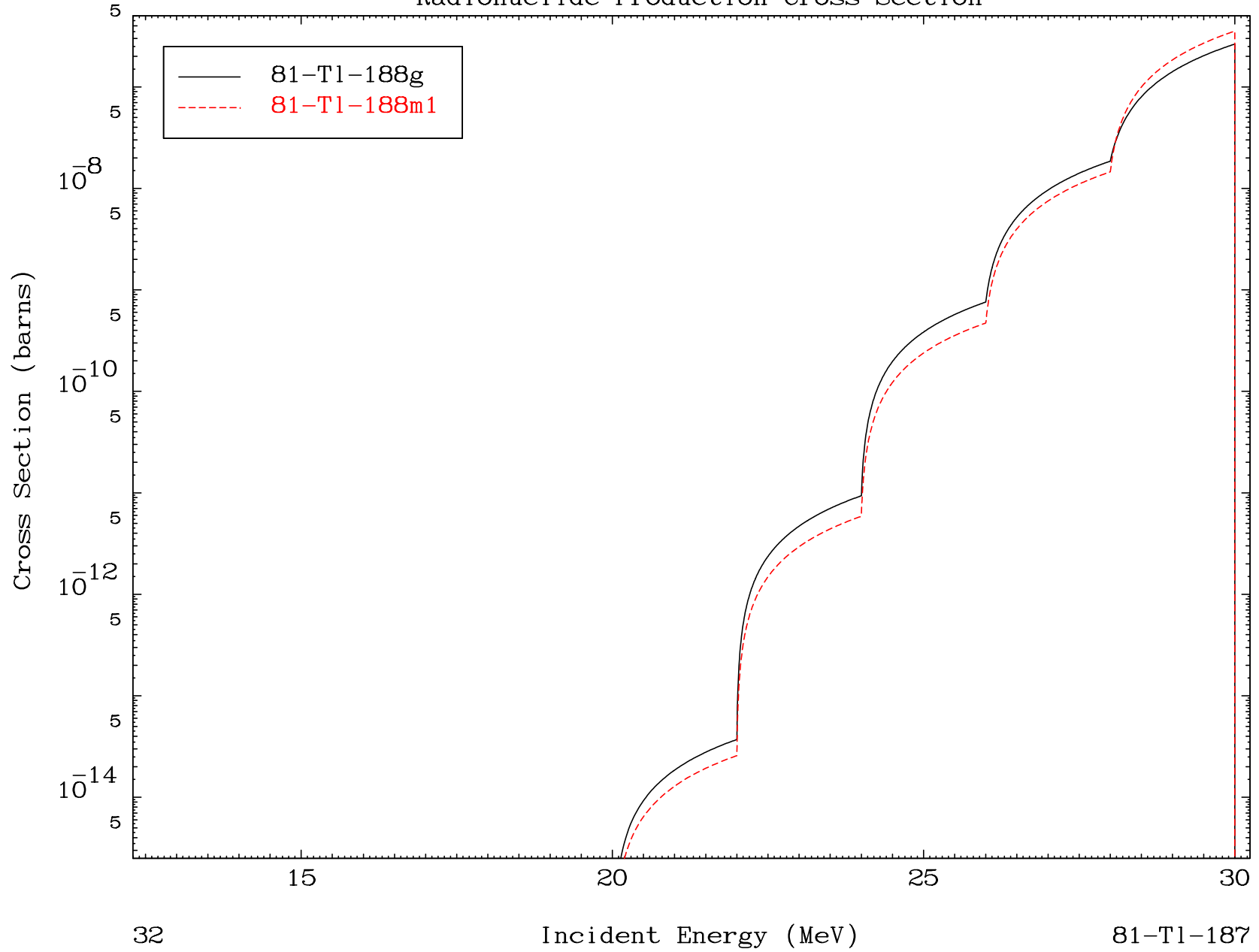
81-T1-187

MAT 8078

($\alpha, \text{He-3}$)

81-Tl-187

Radionuclide Production Cross Section



32

Incident Energy (MeV)

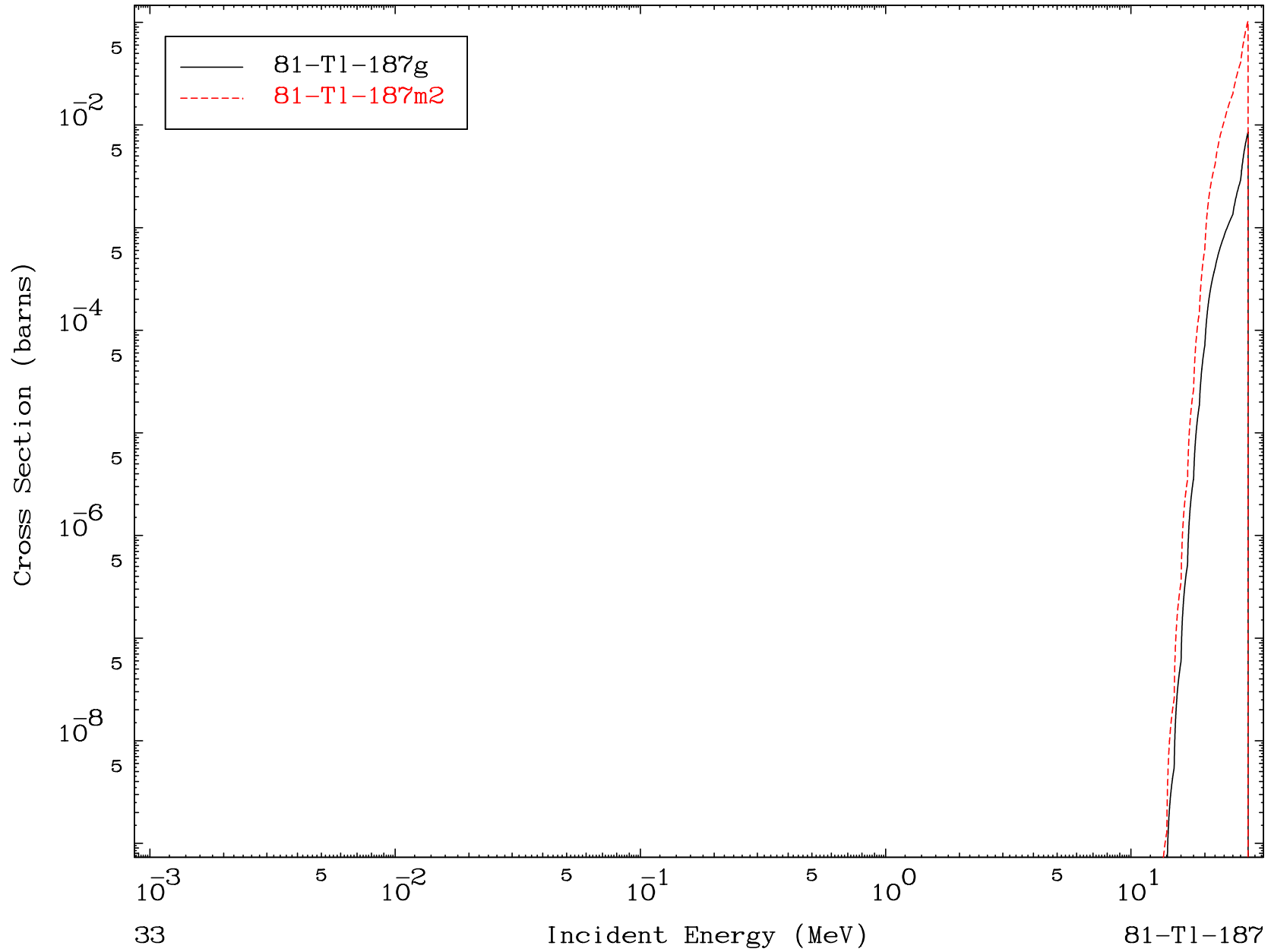
81-Tl-187

MAT 8078

(α, α)

81-Tl-187

Radionuclide Production Cross Section

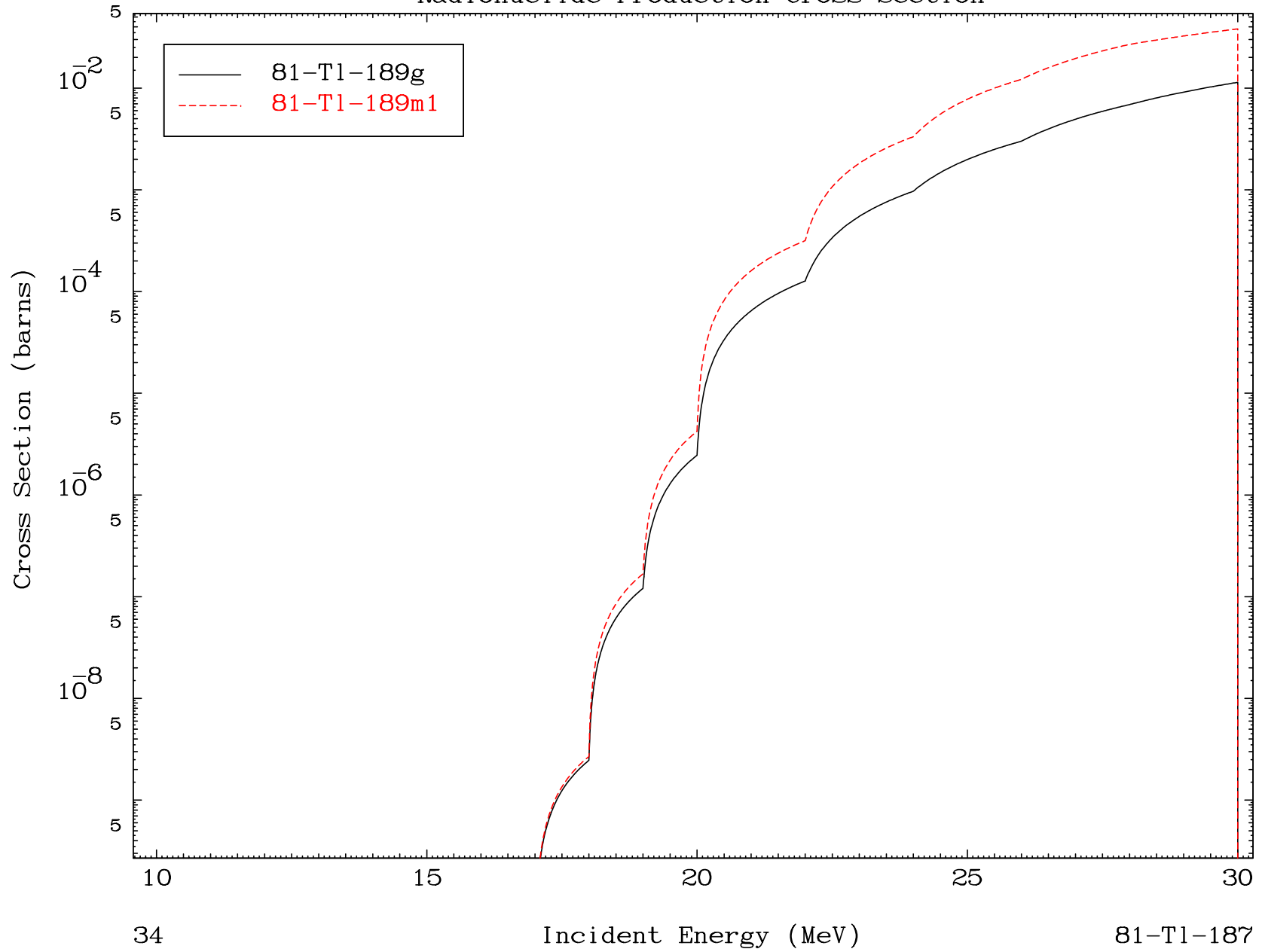


MAT 8078

($\alpha, 2p$)

81-Tl-187

Radionuclide Production Cross Section



34

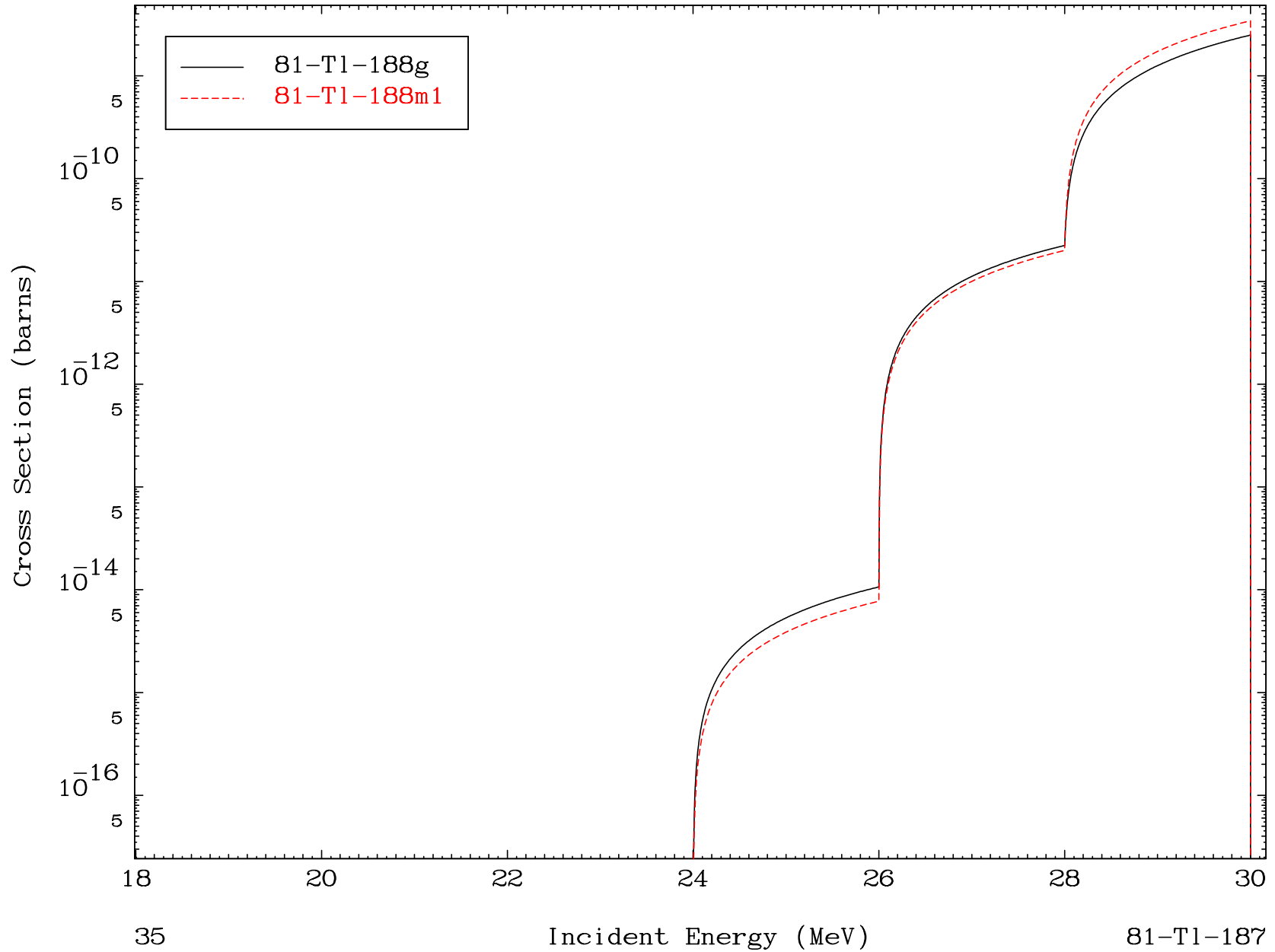
81-Tl-187

MAT 8078

(α, p) d

81-Tl-187

Radionuclide Production Cross Section



Radionuclide Production Cross Section

